

中國科學院冶金陶瓷研究所專刊

乙種 第8號

硼質絕緣玻璃纖維成分 及其制造之研究

殷之文 薛志麟 王德培

童祐嵩 周玉華

科学出版社

卷之三

卷之四

卷之五

卷之六

中國科學院冶金陶瓷研究所專刊

乙種 第8號

硼質絕緣玻璃纖維成分
及其制造之研究

殷之文 薛志麟 王德培

童祐嵩 周玉华

科学出版社

1 9 5 7

內容 提 要

本文介紹中國科學院冶金陶瓷研究所關於試制用于電絕緣目的的連續硼質絕緣(無硠)玻璃纖維的一些研究結果。其主要內容包括兩部分：第一部分是硼質無硠玻璃的試驗工作，包括玻璃成分和配合料料方的擬定，建立玻璃熔制條件，玻璃制球以及玻璃性能的測定等；第二部分是玻璃纖維的拉制試驗，包括抽絲設備與抽絲試驗兩項。

在討論中，作者將纖維的纖度與玻璃黏度，壓力及抽拉速度作了量的聯繫，並建立了表示此聯繩的經驗方程式。

硼質絕緣玻璃纖維成分 及其製造之研究

著者 殷之文 薛志麟 王德培
童祐嵩 周玉華

出版者 科 學 出 版 社
北京朝陽門大街 117 号
北京市書刊出版業許可證出字第 061 號

印刷者 上海信誠印刷厂

總經售 新 华 書 店

1957年9月第一版
1957年9月第一次印刷
(總) 0001—1,146

書號：0889 印張：2 1/8
開本：787×1092 1/16
字數：37,000

目 次

一、引言	1
二、實驗部分	1
I. 硼質无硠玻璃	
1. 玻璃成分、配合料方與熔制条件	1
2. 玻璃制球	4
3. 玻璃性能	4
(1) 玻璃熔体的粘度	4
(2) 玻璃的电性	12
(3) 玻璃的其它性能	17
II. 抽絲試驗	
1. 抽絲設備	18
2. 抽絲試驗和数据	23
三、討論	25
四、摘要	29

一、引言

玻璃纖維的制造自 1935 年以后在苏联、美国、德国等国家均相繼研究成功，并在工业上获得了广大的应用。其后捷克、英国、日本等国家也逐步地发展了本国的玻璃纖維工业。

玻璃纖維是以玻璃状态的物質(主要是矽酸鹽类)制成的极細的纖維，纖維的直徑愈小，其强度愈大。当纖維的直徑小于 7—8 微米时，其强度急速增加，并使纖維有了彈性而可与其他纖維物質一样被編織成各种織物。由于玻璃纖維制品是由玻璃纖維編織成的，因而兼备了玻璃与纖維的优越性能。它們具有良好的絕緣性，耐热耐蝕性，耐折耐磨性和高度的抗張强度。当与某些有机塑体层压制成制品后，其强度更可与鋼鐵相比拟。因此玻璃纖維制品不論在化工、电工、航空、造船、建筑等工业生产上都已获得了广泛的应用。

根据制造方法的不同玻璃纖維可被分为两类：第一类是用拉制方法所制造的連續玻璃絲。第二类是用噴吹、离心或气体爆裂的方法所制造的不連續的玻璃毛。这两种纖維都可以应用于电絕緣的目的。但是，由于連續纖維的質量較好，且能拉制較細的纖維，这种纖維制品最适用于制造电絕緣材料。

制备电絕緣玻璃纖維所用的玻璃一般采用无硷或低硷的(1—2%)玻璃成分。由于玻璃纖維具有极大的表面，在不同湿度的大气下因表面吸附而引起的玻璃表面性質的变化，将大大地增高玻璃的电导率，损坏了制品的絕緣性能。无硷的或低硷的玻璃不只較其他組成的玻璃具有高得多的体积电阻系数，并且受大气湿度的影响而改变其表面性質的趋向也小。

本文介紹中国科学院冶金陶瓷研究所在 1954—1956 年內所进行的关于試制适用于电絕緣目的的連續硼質絕緣(无硷)玻璃纖維的一些研究結果。

二、实验部分

实验分为两部分：第一部分是硼質无硷玻璃的試驗工作，包括拟定玻璃成分和料方，建立玻璃熔制与制球的条件，以及玻璃性能的測定等。第二部分是玻璃纖維的拉制試驗，包括抽絲設備与抽絲試驗兩項。

I. 硼質无硷玻璃

1. 玻璃成分、配合料方与熔制条件

由于玻璃成分和配合料方与其熔制条件以及制成的玻璃的性能有着十分密切的联

系，因此，在擬定玻璃成分之前，我們先經過了系統變更玻璃成分與配合料方組成的熔制試驗，和測定了這些玻璃的粘度與其他的物理-化學性質；然後選擇編號為B26的玻璃成分，進行重點試驗，確定了兩個配合料方以及它們的熔制條件。

(1) 編號為B26的玻璃成分：

氧化物	SiO_2	Al_2O_3	B_2O_3	MgO	CaO	总共
百分含量	51.00	17.00	12.80	4.80	14.40	100.00

(2) 配合料方：(以石英砂為100的重量單位)

	石英砂	氫氧化鋁	硼酸	天鎂粉	碳酸鈣	蘇州土	总共
配合料(1)	100.00	51.38	44.47	27.58	43.75	—	267.18
配合料(2)	100.00	—	73.76	45.73	72.56	141.16	433.21

上述各原料的化學分析成分和它們的物理形態列于表1。

表1. 原料的化學分析成分(%)及物理形態

原 料 氧化物	石英砂	氫氧化鋁	硼酸	天鎂粉	碳酸鈣	蘇州土
SiO_2	98.75	0.33	—	0.42	2.26	46.08
Al_2O_3	0.50	64.72	—	0.08	0.14	39.06
B_2O_3	—	—	56.30	—	—	—
Fe_2O_3	0.42	0.04	0.01	0.03	0.07	0.09
MgO	—	—	—	34.05	0.24	—
CaO	—	—	—	15.63	54.53	0.24
Na_2O	—	0.35	—	—	—	0.05
K_2O	—	—	—	—	—	—
TiO_2	—	—	—	—	—	0.03
SO_4^{--}	—	0.09	0.05	—	—	—
Cl^-	—	—	—	—	—	—
燒失量	0.07	34.60	43.63	49.78	42.75	14.68
總共	99.74	100.04	99.99	99.99	99.99	100.22
物理形態	0.20—0.12 mm之間的 顆粒	細粉	細粉	細粉	粉狀重質 碳酸鈣	顆粒度< 0.20mm
備註	山東鋁廠出品	國外進口	由天然原料 白雲石粉碎	上海順昌石 粉廠出品	楊山西江 南礦產品	

(3) 配合料的制備和混和：

將稱好的石英砂，用為砂量20%的水漬濕，然後用20號篩篩下天鎂粉和碳酸鈣，最後加硼酸和氫氧化鋁（或蘇州土）均勻混和；再用20號篩將混和的配合料過篩，並將

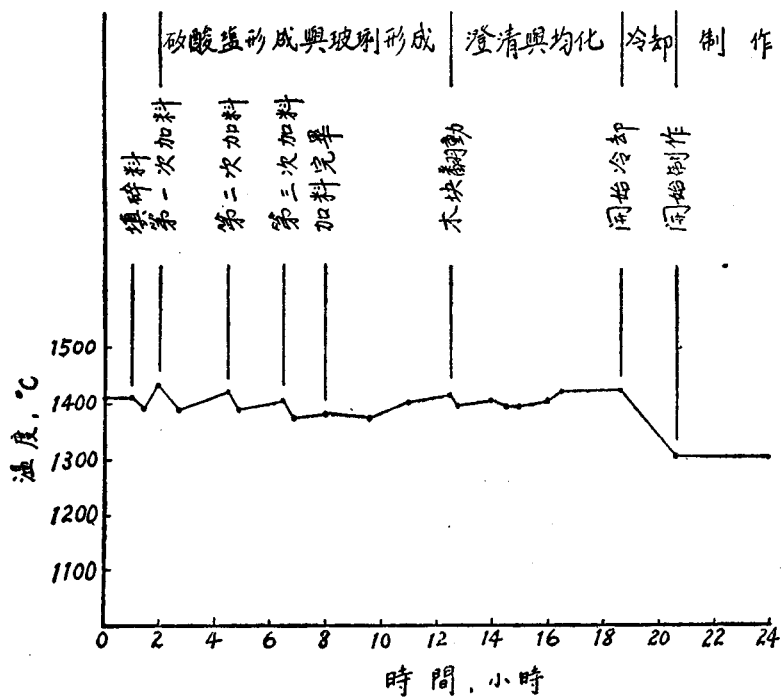


图1. 配合料(1)的熔制曲线。

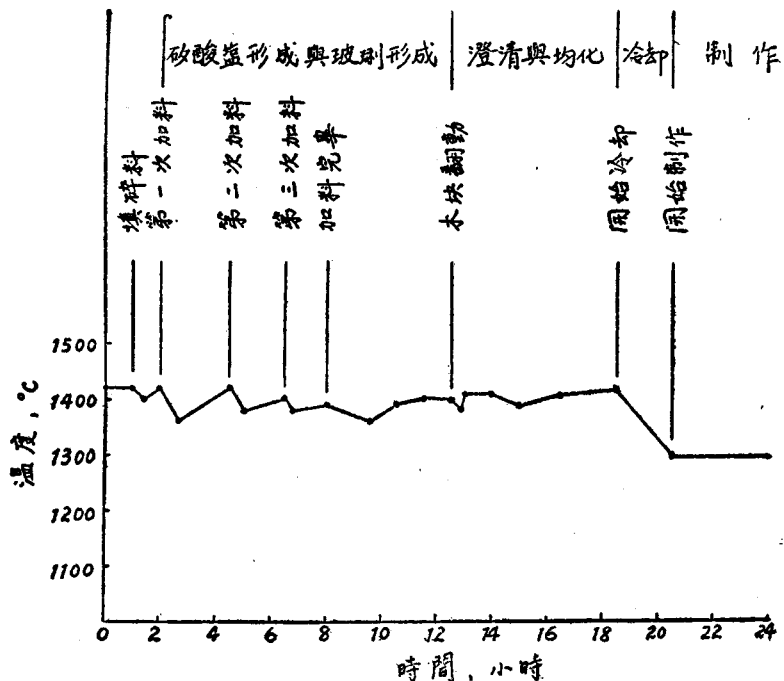


图2. 配合料(2)的熔制曲线。

篩出的配合料在以對角線方向旋轉的正方形混和箱中混和一小時。此時，配合料已混和均勻，然後加入為配合料 30% 的同成分碎玻璃，稍加攪和後即準備熔制。

(4) 熔制條件：

經過在砂碳棒電爐與十公斤容量五坩堝式坩堝爐中的多次熔制試驗的結果，最後確定了配合料(1)與配合料(2)的熔制條件。圖 1、圖 2 示出在十公斤容量五坩堝式坩堝爐中熔制這兩項配合料的最適的熔制條件曲線。

新坩堝在未加料前，先在 1450°C 的溫度下燒結 24 小時。應該指出，由於 B26 玻璃對坩堝的侵蝕性大，因此需要採用質地致密的高鋁氧坩堝。我們所用的是自制的用注漿法成型的坩堝。在配合料加入以前，在坩堝底上先墊上一層為配合料量 5% 的碎玻璃。俟碎玻璃熔化，開始第一次加料。第一次加料的溫度約在 1420°C 左右。待配合料全部熔化，當由坩堝挑出的試樣中已無砂粒存在而僅有密集的氣泡時，進行第二次加料。這樣一直到配合料全部加完為止。俟爐溫升至 1400°C 左右，維持 2 小時，然後進行木塊翻動。翻動後的玻璃熔體在 $1400^{\circ}\text{--}1420^{\circ}\text{C}$ 的溫度下維持 6 小時（澄清過程），然後降低爐溫到 1300°C 左右，開始進行制作。

2. 玻璃制球

制球所用的玻璃是在 100 公斤容量雙坩堝式油爐中熔制的。所採用的配合料是配合料(1)。熔制條件除加料時間因坩堝容量大而加長外，與圖 1 中所示曲線相同。所制玻璃球的大小為 1.5 公分直徑。

制球過程是完全手工的。由挑料工、壓球工、烘球工、擊脫工四人組成小組，進行流水作業。挑料工用鐵棒在坩堝中挑取適當量的玻璃料，在由壓球工掌握的壓模中壓成球形，然後挑料工將帶有玻球的鐵棒交與烘球工。烘球工將玻璃球在空燒坩堝口或火焰（溫度約為 900°C 左右）中烘烤一、二分鐘後立即交與擊脫工。擊脫工用手鉗將鐵棒與玻璃球間的頸口鉗細，然後將棒輕輕敲擊，玻璃球即從鐵棒上脫落下來，落於稻草灰中。玻璃球經過選擇，將含有多量氣泡者加以剔除。

在制球的同時，也用手工制作了為測量玻璃粘度、電性等的各種不同形狀的試樣。

3. 玻璃性能

(1) 玻璃熔體的粘度

(a) 仪器

本仪器是根據 Stokes 在液体中落球的原理進行測量的。仪器設計和粘度測量主要採用了 Leo shartsis 與 Sam Spinner⁽¹⁾的方法。粘度的測量範圍為 $10\text{--}10^4$ 泊，最高的測量溫度因受電爐限制為 1450°C 。

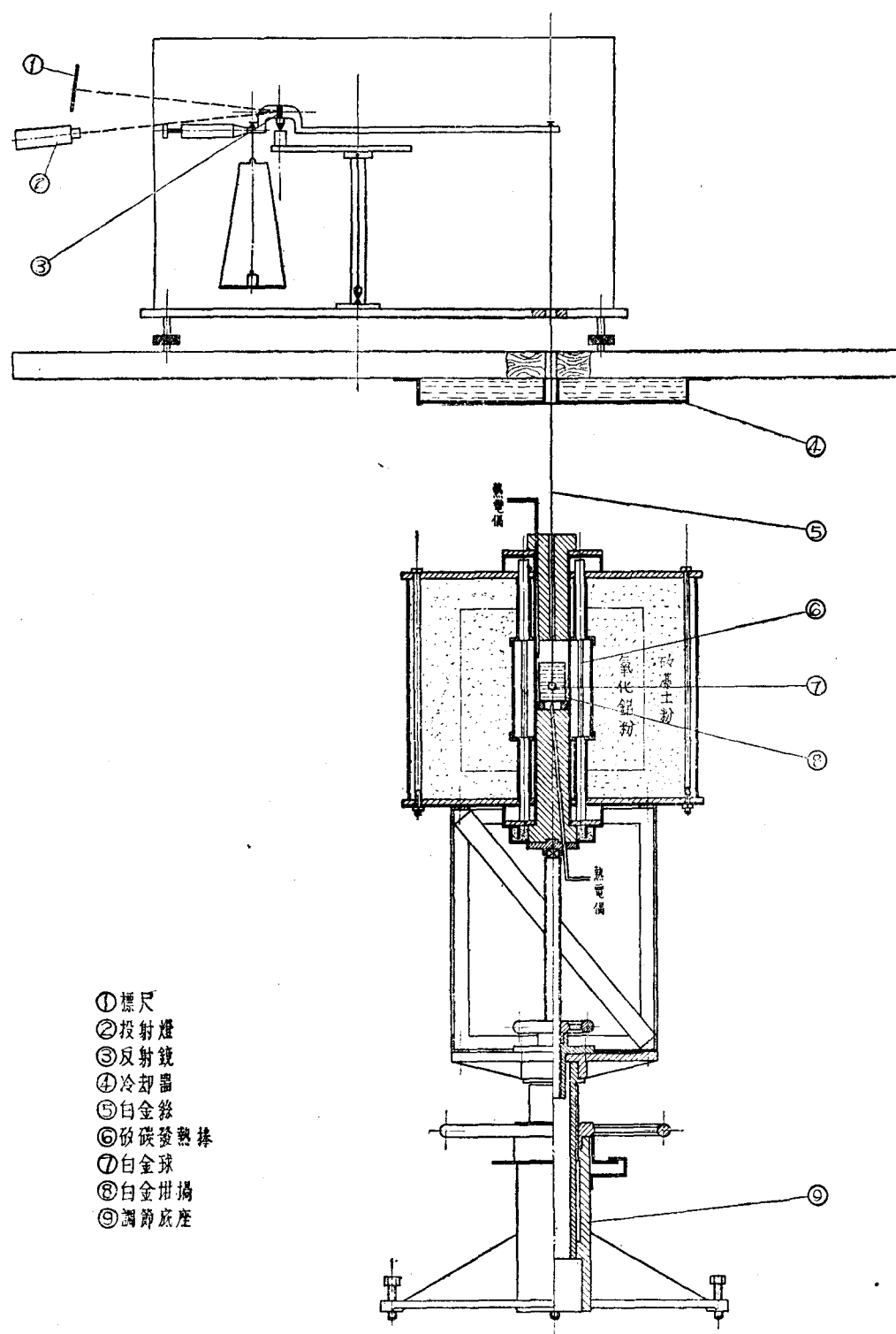


图3. 落球法高温粘度計の構造示意图

圖3示出了儀器構造的示意圖。其測量機構為一臂比等於10:1的天平，在天平的長臂上懸一銀鏈下接細白金絲[5]。白金絲下端吊着一直徑為1.5厘米的白金球[7]，浸沒在置於電爐中的白金坩堝[8](直徑5厘米，高7.5厘米)內的玻璃熔體中。在短臂端的秤盤中放置不同重量的砝碼，這樣可使白金球在熔體中以不同的速度下落。白金球在熔體中的運動借光學指示系統放大，以便精確地反映白金球在熔體中的下落速度。光學指示系統包括一投射照明燈[2]，固定在天平臂的支點上的反射鏡[3]與讀數標尺[1]。

電爐是一豎式管形爐，在爐內高鋁耐火管的周圍放有8支矽碳棒[6]作為發熱元件。內層熱絕緣材料為氧化鋁粉或高溫絕熱磚。外層熱絕緣材料則為矽藻土粉。將此電爐安放在可以調節高低的底座[9]上。在放置天平的爐子的底下裝置紫銅質的回流水冷卻器[4]以保護天平避免受到從高溫電爐發散出的熱的影響。

盛有玻璃熔體的白金坩堝位於耐火管空間的中間部分。用傾斜穿過可動爐底直至坩堝底上的鉑-鉻熱電偶測量坩堝也即玻璃熔體的溫度。經測定結果，由坩堝底熱電偶指示的溫度總較坩堝內的平均溫度低6°C，因此將此差數加于所測出的溫度上面。用穿過上部爐塞伸入爐膛的另一鉑-鉻熱電偶來控制爐溫。爐子的上下爐塞均以高溫絕熱磚制成，爐底加有砂封。

電源通過一可變變壓器以及由溫度控制儀所操縱的繼電器接至電爐。經試測結果，坩堝內玻璃熔體在各不同地點的溫度差別在±5°C以內。借溫度控制儀與繼電器系統的控制，其隨時間而變的溫度波動在±2.5°C以內。爐溫1450°C時電爐的功率消耗為3KW。

(b) 儀器的校准

為校準儀器所用的液體，它的粘度用一精確可靠的霍普勒氏粘度計來測定。後者的精確可靠性經純粹蓖麻油粘度的校對而得到證明：

溫度(°C)	粘 度 (泊)	
	物理化學手冊	測定結果
10	24.2	23.9
20	9.86	9.85

這種霍氏粘度計的測定範圍為0.005—800泊。

選擇合適的校準用液體是個重要問題。它既要在一般實驗室所能達到的溫度情況下具有我們所需範圍的粘度，又要比較穩定，經久不变，使測定的結果能有重複性。經過參考了有關的文獻(2,3)以及我們就各種液體試驗的結果，選定了以糖漿作為校準用

的液体。经霍氏粘度计的测定结果，所用糖浆在各个温度的粘度如表2与图4。

表2. 糖浆在各个温度时的粘度

温度 °C	粘 度	
	泊	$\log \eta$
5.1	767.2	2.885
5.7	716.9	2.855
6.3	654.8	2.815
7.0	589.4	2.770
7.8	528.8	2.723
8.3	486.7	2.687
10.0	383.9	2.583
12.0	290.1	2.468
13.4	243.3	2.385
15.1	195.0	2.290
16.5	162.5	2.210
18.1	133.7	2.124
20.1	106.5	2.025
21.9	86.0	1.935
22.9	76.9	1.886

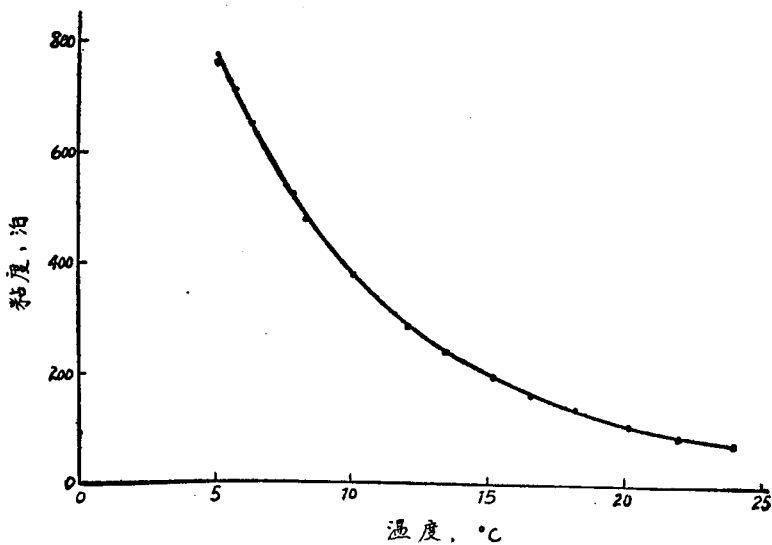


图4. 糖浆的粘度-温度曲线

進行校准时，將高溫粘度計的電爐用一恒溫水浴($\pm 0.05^{\circ}\text{C}$)代替。在其中放置一紫銅盛器，緊貼此盛器的內壁置入該白金坩堝(如圖5)。

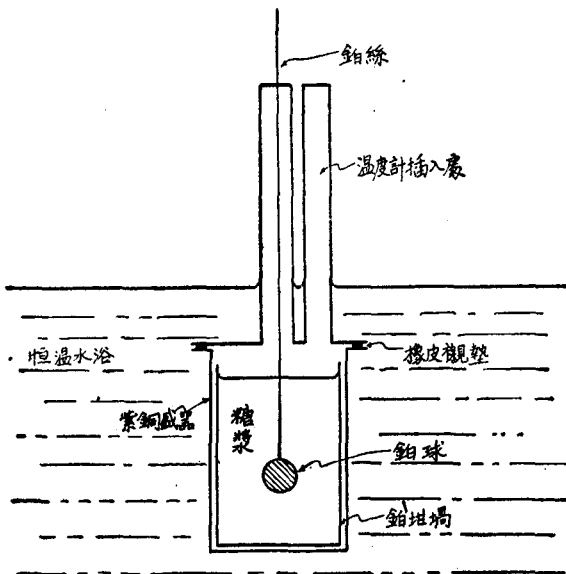


圖5. 校准用紫銅盛器及其裝置

白金坩堝內盛校准用的液体即糖漿。白金球用白金絲懸吊在天平的長臂上，使其浸入糖漿中。白金球应在坩堝的中央，其中心離底約3.75厘米。經實驗證明，此位置稍有不同，對測定結果無顯著影響。

待一定的溫度維持恒定，即糖漿具有一恒定的已知粘度 η 後，在天平短臂端的秤盤

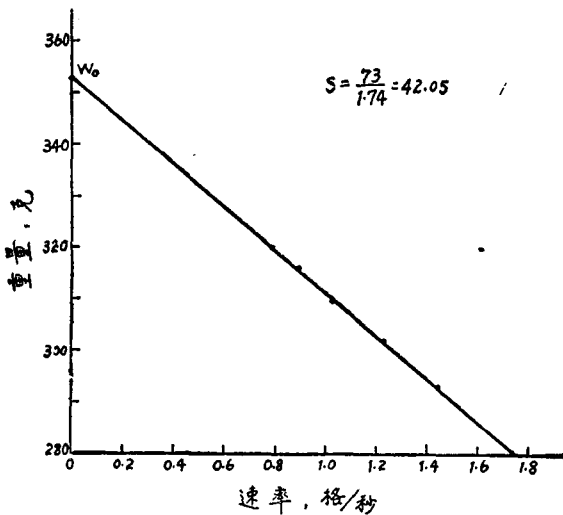


圖6. 液體粘度 $\eta = 780$ 泊時，由 W 與 V 值所得出的直線

内，放置适当的重量 W 克。开启天平，俟由光系统投入标尺上的黑线的移动即反映着白金球在液体中的下落运动的速度恒定不变后，读取它在标尺的一定刻度范围内移动所需的时间，因此得出在该重量 W 情况下黑线在标尺上的移动速度 V ，以格/秒来表示。然后继续改变 W ，同样地求出 V ，这样可以得出一组 W 与 V 的相应数值。以 W 为纵坐标， V 为横坐标作图，所得的点应该落在一直线上。图6示出当液体粘度 $\eta = 780$ 泊时（此时液体温度=5.0°C）， W 与 V 的关系曲线，由图中可以看出，它们间的关系是一直线，其斜率 $S = 42.05$ 。

图中直线与纵坐标轴的交点 W_0 ，应是白金球连同没入液体中一段白金丝在液体中的重量，因此利用这个方法同样可以测定玻璃熔体的密度。

继续改变糖浆的温度以改变其粘度，同样可以如上求出相应的斜率。表3列出在不同温度时糖浆的粘度与其相应的斜率。经验证明，以 $\log \eta$ 对 $10 + \log S$ 作图为一直线。因此用最小二乘方方法得出粘度与斜率的經驗关系式如下：

$$\log \eta = 1.0479(10 + \log S) - 9.2839.$$

图7示出此一关系式的图形与实际测定的数值。此一图形即是粘度计的校准线，以后用此仪器测定玻璃熔体或其它液体的粘度时均根据这个关系式或图7上的直线。

表3. 在不同溫度情况下糖漿的粘度与其相应斜率

溫 度 °C	粘 度		斜 率		
	泊	$\log \eta$	S	$\log S$	$10 + \log S$
5.0	780	2.892	42.05	1.623	11.623
5.8	702	2.846	37.82	1.578	11.578
6.9	600	2.778	32.22	1.508	11.508
8.2	496	2.696	26.33	1.421	11.421
8.7	460	2.663	25.06	1.399	11.399
10.0	383*	2.583	21.55	1.333	11.333
12.1	287	2.458	16.06	1.206	11.206
13.4	243	2.386	13.48	1.130	11.130
15.0	200	2.301	11.20	1.049	11.049
17.0	153	2.185	8.85	0.947	10.947
18.9	121	2.083	7.12	0.853	10.853
21.6	90	1.954	5.17	0.714	10.714

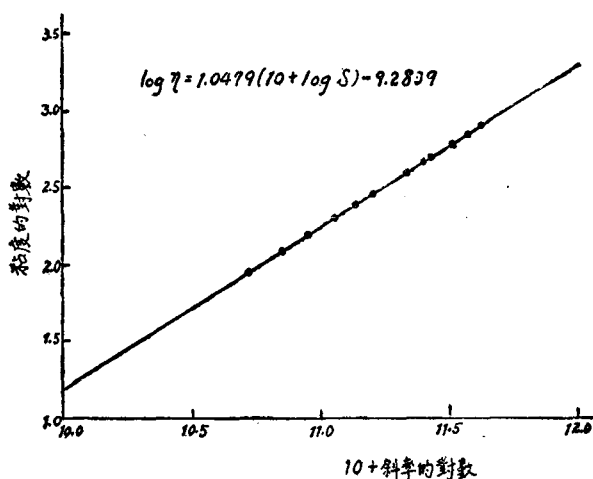


图7. 粘度計的校准曲綫

为了証实校准結果的可靠性以及确定本仪器的精确度起見，进行了純氧化硼熔体的粘度測定，今將其結果示于表4和图8。从此可和 G. S. Parks & M. E. Spaght⁽⁴⁾ 及 B. T. Славянский и Е. И. Крестникова⁽⁵⁾ 所得的数据相比較。

表4. 氧化硼熔体的粘度

溫度 °C 粘度 $\log \eta$	1100	1000	900	800	700	600
本仪器測定数据	1.67	1.89	2.12	2.41	2.82	3.24
Parks & Spaght	1.63	1.87	2.08	2.41	2.93	3.68
Славянский и Крестникова	1.65	1.88	2.09	2.36	2.73	3.23

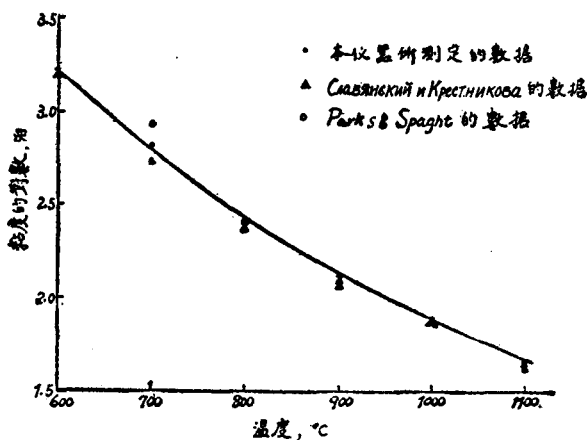


图8. 氧化硼熔体的温度-粘度曲綫

根据以上数据可以看出,用本仪器所测氧化硼熔体粘度的结果与 Parks & Spaght 及 Славянский и крестникова 的数据是非常接近的。因此可以肯定,在所测范围内即 $\log \eta = 1.65 - 3.24$, 它的可能误差在 0.1 ($\log \eta$) 以内。应该指出, Parks & Spaght 的数据低于 750°C 者并非实验结果而是用外推法所确定者,因此,其在 700 与 600°C 时的粘度数据偏差显得较大。

(c) 玻璃熔体粘度的测定

玻璃粘度的测定是与拟定玻璃成分结合进行的。因此当进行熔制试验选择玻璃成分时,也进行了每个玻璃成分的粘度测定工作。

为测定玻璃的粘度,先在电炉或油炉坩埚内用玻璃浇制出直径约 5 厘米,高约 6.5 厘米的玻璃圆柱作为试样。坩埚内不容许有结晶或显著气泡等缺陷。将此坩埚盛放在白金坩埚内,而坩埚放置在电炉底的炉塞上。炉塞与坩埚间垫放一薄块与炉塞同直径的耐火瓷板。然后经旋转底盘将炉塞送入炉内,关紧电炉。此时应先将悬挂在天平一端的白金丝与球吊起约 5 厘米,俟坩埚受热熔化成熔体后,再行放下没入熔体中。我们测量粘度是从最高温度测起,测量时由温度控制仪保持恒温,然后逐步将温度下降用同样方法继续测定各个不同温度时的粘度,一直到玻璃粘度 ($\log \eta$) 到达 4.0 左右为止。表 5 列出由两个配合料方(1)与(2)所熔出的玻璃 B26 在不同温度下的粘度,它们的温度-粘度曲线示于图 9。从表 5 与图 9 可以看出,配合料方不同对玻璃的粘度没有大的影响。

表5. B26 玻璃的粘度

温 度 $^{\circ}\text{C}$	粘 度 $\log \eta$	
	配合料方 (1)	配合料方 (2)
1400°	2.03	2.06
1350°	2.26	2.29
1300°	2.53	2.55
1250°	2.84	2.83
1200°	3.17	3.14
1150°	3.56	3.53

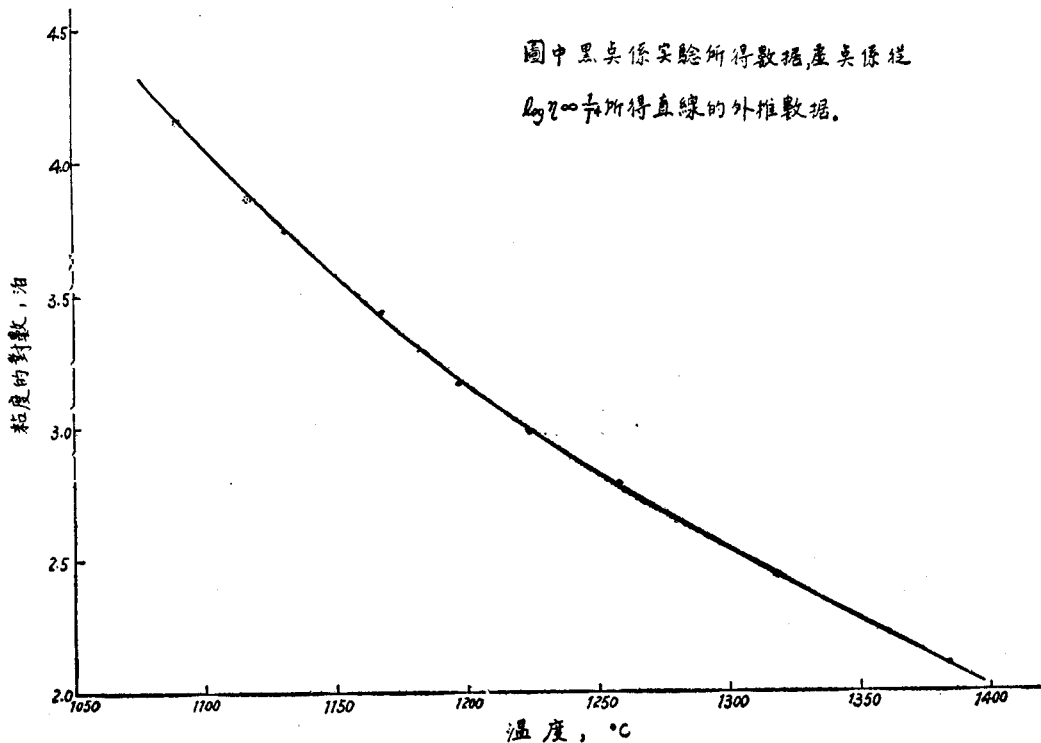


图9. B26 玻璃的温度-粘度曲线

(2) 玻璃的电性

(a) 电阻系数的测定

(i) 仪器

整个仪器包括三部分：(1)具有电极装置的加热电炉，(2)测温装置，(3)电阻测量装置。电炉是一普通的镍铬丝管形炉。电极用紫铜作成。为了防止在较高温度下因铜氧化而造成导电不良的情况，在与试样相接触的电极面上镀上厚约0.1厘米的银板。电极备有保护环⁽⁶⁾，这样可以分别测定试样的体积电阻与表面电阻。应该指出，当需要在一定的湿度下测定试样的表面电阻时，则试样不放在电炉中，而放在另备的恒温恒湿箱中测定。

测定温度是用安置在试样附近的镍铬-镍铝热电偶连接电位计来进行的。测量电阻的装置包括一电流常数为 8.77×10^{-10} 安培/毫米的精密电流计，多范围伏特计(0—0.045—0.15—0.6—0.3—6.0—30—150—300—600伏特)和电池组。电池组为10个串联的乙电池，作为测量电阻的直流电源，其总电压约为450伏特。每22.5伏特设一抽头。图10图11分别示出仪器的装置示意图和测量线路图。